

РАЗРАБОТКА ИНТЕРАКТИВНОГО ПРИЛОЖЕНИЯ ДЛЯ МИНИМИЗАЦИИ ФУНКЦИОНАЛА СВОБОДНОЙ ЭНЕРГИИ ФЕРРОНЕМАТИКА В ПАКЕТЕ MAPLE

Д. Ф. Хайртдинов, Д. В. Макаров

Пермский государственный национальный исследовательский университет,
614990, Пермь, Букирева, 15

При расчете равновесной ориентационной структуры ферронематика (суспензии магнитных частиц в нематическом жидком кристалле), взаимодействующего с ограничивающими поверхностями и внешними полями, возникает необходимость минимизировать функционал полной свободной энергии такой суспензии $F = \int F_V dV$ [1–2]. В ряде простых случаев этот процесс может быть автоматизирован, а некоторые его этапы можно проводить в интерактивном режиме с помощью графического интерфейса пользователя. В настоящее время существуют системы компьютерной математики, такие как Maple или Mathematica [3], в которых предусмотрены средства, необходимые для создания подобного рода интерактивных приложений.

Целью настоящей работы является создание Maple-приложения с интерактивным графическим интерфейсом пользователя (Maplet'a), вычисляющего, во-первых, вклады в плотность свободной энергии ферронематика для заданной пользователем геометрии задачи, во-вторых, минимизирующего функционал полной свободной энергии ферронематика и выводящего на экран соответствующие уравнения ориентационного равновесия. Кроме того, в качестве примера будет решена задача о нахождении трехмерных деформаций поля директора в ферронематике.

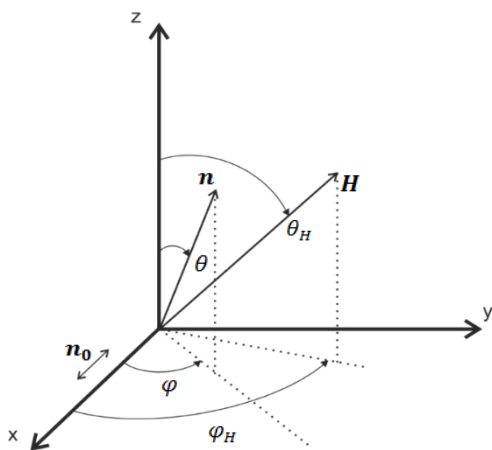


Рис. 1. Геометрия задачи

Рассмотрим ферронематик, находящийся в контакте с ориентирующей стенкой и помещенный в произвольно ориентированное однородное магнитное поле (Рис. 1). Сцепление жидкокристаллической матрицы со стенкой будем считать жестким и планарным, т.е. в отсутствие внешних полей единичный вектор \mathbf{n} (директор), характеризующий направление преимущественной ориентации молекул жидкого кристалла, ориентирован вдоль оси x , лежащей в плоскости стенки (ось легкого ориентирования). Сцеп-

ление между директором и единичным вектором намагниченности суспензии также будем считать абсолютно жестким и планарным, в этом случае оба вектора определяются одним и тем же набором полярных и азимутальных углов. Магнитное поле \mathbf{H} приложим под произвольным углом по отношению к ориентирующей стенке:

$$\mathbf{H} = H(\sin \theta_H \cos \varphi_H, \sin \theta_H \sin \varphi_H, \cos \theta_H). \quad (1)$$

В этом случае отыскиваемое поле директора можно представить следующим образом:

$$\mathbf{n} = (\sin \theta(z) \cos \varphi(z), \sin \theta(z) \sin \varphi(z), \cos \theta(z)). \quad (2)$$

Полная свободная энергии ферронематика F в рассматриваемой задаче имеет вид [2, 5]:

$$F = \int F_V dV, \quad (3)$$

$$F_V = \frac{1}{2} [K_{11}(\operatorname{div} \mathbf{n})^2 + K_{22}(\mathbf{n} \cdot \operatorname{rotn})^2 + K_{33}(\mathbf{n} \times \operatorname{rotn})^2] - \frac{1}{2} \chi_a (\mathbf{n} \cdot \mathbf{H})^2 - M_s f \mathbf{n} \cdot \mathbf{H} + \frac{k_B T}{v} f \ln f.$$

Первый вклад в F_V (3) представляет собой потенциал Озеена-Франка, второй – плотность диамагнитной энергии ЖК-матрицы, третий – плотность энергии взаимодействия феррочастиц с магнитным полем, четвертый – вклад энтропии смешения «идеального газа» феррочастиц в суспензии; здесь $\chi_a > 0$ – это анизотропия магнитной восприимчивости ЖК, \mathbf{H} – вектор напряженности магнитного поля, K_{ii} – константы Франка, M_s – намагниченность насыщения материала частицы, k_B – постоянная Больцмана, T – температура, v – объем феррочастицы, f – объемная доля феррочастиц в суспензии.

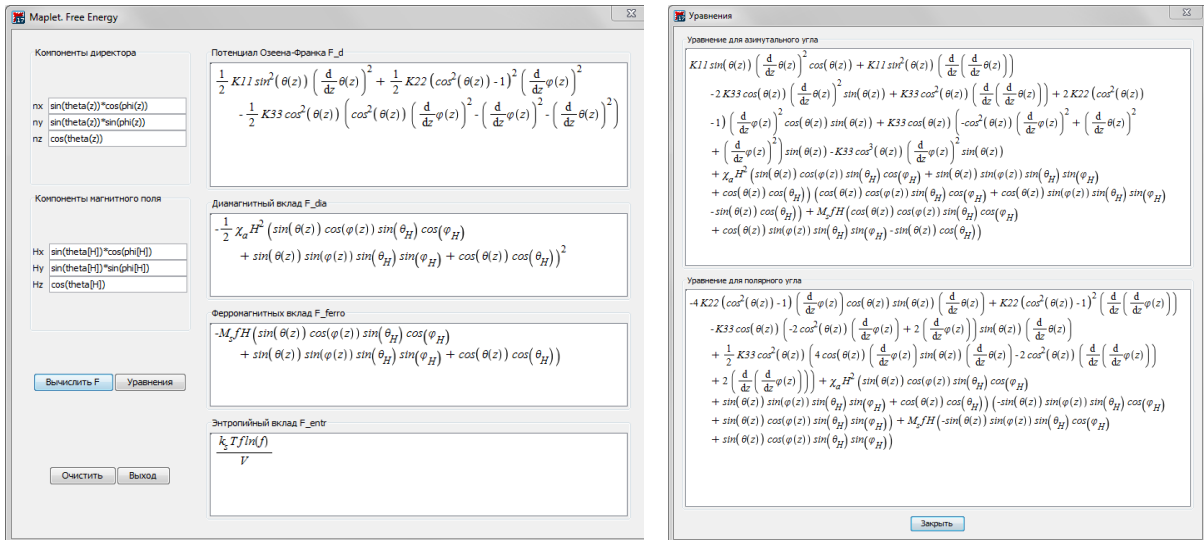


Рис. 2. Диалоговые окна Maple-приложения

В данной работе было создано Maple-приложение, предназначенное для вычисления плотности свободной энергии ферронематика и записи соответствующих уравнений Эйлера-Лагранжа [2, 4] по заданным пользователем компонентам внешнего поля и поля директора (в декартовой системе координат). Например, их можно задать в виде, представленном в (1) и (2). Для этого пользователь в главном окне приложения (Рис. 2, левое окно) в соответствующих интерактивных полях записывает компоненты директора и вектора напряженности магнитного поля. Затем нажимает кнопку «Вычис-

лить F» и в специальных полях выводятся рассчитанные значения вкладов свободной энергии F_V (3). Чтобы получить систему уравнений ориентационного равновесия для углов поворота директора и намагниченности нужно нажать кнопку «Уравнения». После чего появляется отдельное окно (Рис. 2, правое окно), в котором отображаются соответствующие уравнения.

В рассматриваемой геометрии задачи (Рис. 1) с учетом (1)–(3) система уравнений Эйлера-Лагранжа имеет следующий «интеграл движения»:

$$f(\theta)(\theta')^2 + g(\theta)(\varphi')^2 + \chi_a H^2 p^2(\theta, \varphi) + 2M_s f H p(\theta, \varphi) = \text{const}, \quad (4)$$

$$f(\theta) = K_{11} \sin^2 \theta(z) + K_{33} \cos^2 \theta(z),$$

$$g(\theta) = K_{22} \sin^4 \theta(z) + K_{33} \sin^2 \theta(z) \cos^2 \theta(z),$$

$$p(\theta) = \sin \theta(z) \sin \theta_H \cos(\varphi(z) - \varphi_H) + \cos \theta(z) \cos \theta_H.$$

В одноконстантном приближении ($K = K_{11} = K_{22} = K_{33}$) [4] для малого угла отклонения вектора магнитного поля θ_H от ориентирующей плоскости xOy , осуществим разложение «интеграла движения» (4) по малому формальному параметру ε : $\theta = \frac{\pi}{2} - \theta_1 \varepsilon - \dots$, $\theta_H = \frac{\pi}{2} - \theta_{H1} \varepsilon - \dots$. Нулевой и первый порядок разложения дают для поправок первого порядка замкнутую систему дифференциальных уравнений, которая может быть проинтегрирована:

$$\int_0^{\varphi(z)} \frac{d\alpha}{\sqrt{[2h + h^2(1 + \cos(\alpha - \varphi_H))][1 - \cos(\alpha - \varphi_H)]}} = \zeta, \quad (4)$$

$$\int_{\frac{\pi}{2}}^{\theta(\zeta)} A^{-1/2} d\alpha = \zeta, \quad (5)$$

$$A = [h + h^2 \cos(\varphi - \varphi_H)] \left[\left(\frac{\pi}{2} - \theta_H \right)^2 \cos(\varphi - \varphi_H) - 2 \left(\frac{\pi}{2} - \alpha \right) \left(\frac{\pi}{2} - \theta_H \right) \right] + \left(\frac{\pi}{2} - \alpha \right)^2 [h^2 + 2h - h \cos(\varphi - \varphi_H)],$$

здесь введены безразмерная напряженность магнитного поля $h = \frac{H\chi_a}{M_s f}$ и безразмерная координата $\zeta = \frac{M_s f}{\sqrt{K\chi_a}} z$.

Результаты численного решения системы интегральных уравнений (4) – (5) представлены на рисунках 3 и 4. На рисунке 3 построены зависимости углов θ и φ от координаты ζ , определяющей расстояние до ориентирующей плоскости, для различных значений углов φ_H и θ_H , которые задают ориентацию магнитного поля. Видно, что чем больше углы φ_H и θ_H , тем сильнее закручивается (деформируется) структура ферронематика. По мере удаления от плоскости углы ориентации директора и намагниченности асимптотически стремятся к направлению магнитного поля. Пример трехмерной визуализации деформированной ориентационной структуры ферронематика при $\theta_H = 0$ и двух значений угла φ_H показан на рисунке 4.

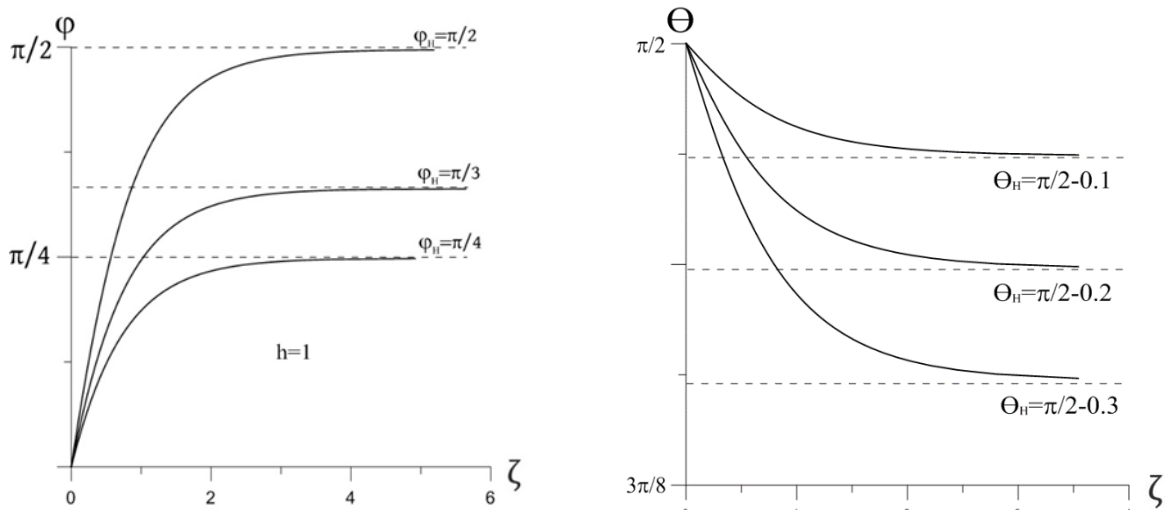


Рис. 3. Пространственная зависимость углов φ и θ , задающих направление директора и вектора намагниченности ферронематика

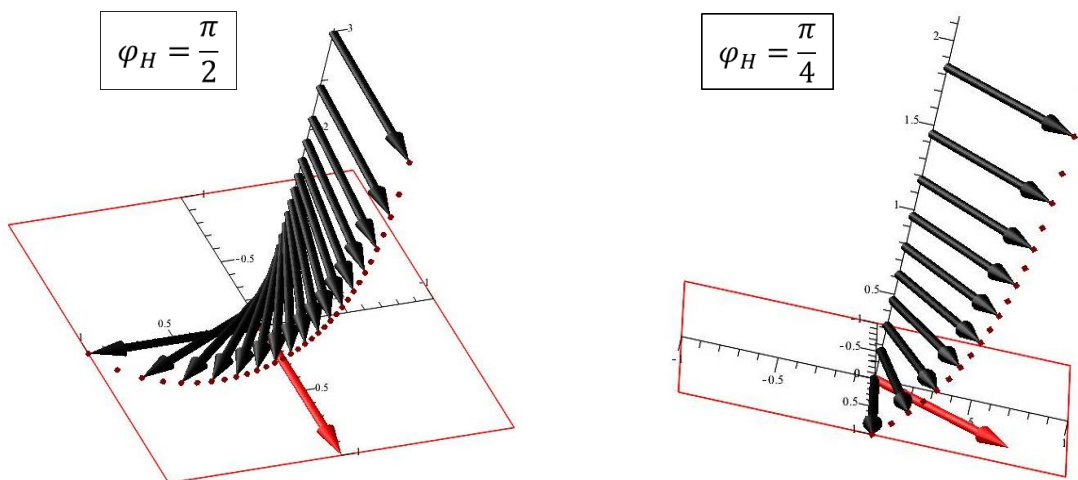


Рис. 4. 3D-визуализация деформаций ориентационной структуры ферронематика в магнитном поле. Красной стрелкой показано направление напряженности поля

Работа выполнена при частичной поддержке Министерства образования и науки РФ (проект № 2014-153-643).

Список литературы

1. Garbovskiy Y. A, Glushchenko A. V. Liquid Crystalline colloids of nanoparticles: preparation, properties and applications // Solid State Physics. 2010. Vol. 62. P. 1-74.
2. Brochard F., de Gennes P. G. Theory of magnetic suspensions in liquid crystals. // J. Phys. (France). 1970. Vol. 31. P. 691-708.
3. Дьяконов В. П. Maple 10/11/12/13/14 в математических расчетах. М.: ДМК Пресс, 2014. 800 с.
4. Блинов Л. М. Жидкие кристаллы. М.: Либроком, 2013. 480 с.
5. Burylov S. V., Raikher Yu. L. Macroscopic properties of ferromagnetics caused by orientational interactions on the particle surfaces. I. Extended continuum model. // Mol. Cryst. Liq. Cryst. 1995. Vol. 258. P. 107-122.